

第三章：飞行路径重构

1. 互补滤波
2. 卡尔曼滤波
3. 状态平滑
4. 应用实例



一、概述

航迹重构 (FPR)

目的:

给出嘈杂的测量结果, 重建“正确的”运动学飞行路径(刚体状态)。

FPR的典型测量:

- 旋转速率
- 加速度
- GPS 速度和位置
- 磁力计输出
- 控制表面偏转

困难之处:

- 无法得到姿态信息
- 测量噪声
- 传感器误差(偏置和比例因子误差)
- 不同的采样率(GPS)
- 不同的坐标系



二、姿态估计

俯仰/滚转角测量原理：

机载加速度计测量量（假设加速度计安装在质心）

$$\text{机体坐标系} \quad \begin{bmatrix} a_{xbm} \\ a_{ybm} \end{bmatrix} = \begin{bmatrix} \dot{u} + g \sin \theta \\ \dot{v} - g \sin \phi \cos \theta \end{bmatrix}$$

当系统处于稳定状态（静止） $\dot{u} = \dot{v} = 0$

$$\begin{bmatrix} a_{xbm} \\ a_{ybm} \end{bmatrix} = \begin{bmatrix} g \sin \theta \\ -g \sin \phi \cos \theta \end{bmatrix}$$

$$\theta = \arcsin\left(\frac{a_{xbm}}{g}\right) \quad \phi = -\arcsin\left(\frac{a_{ybm}}{g \cos \theta}\right)$$

注意： 机体振动
加速度计安装位置
飞机运动状态

二、姿态估计

线性互补滤波器

$$\begin{bmatrix} \dot{\phi} \\ \dot{\theta} \\ \dot{\psi} \end{bmatrix} = \begin{bmatrix} 1 & \sin\phi\tan\theta & \cos\phi\tan\theta \\ 0 & \cos\phi & -\sin\phi \\ 0 & \sin\phi\sec\theta & \cos\phi\sec\theta \end{bmatrix} \begin{bmatrix} p \\ q \\ r \end{bmatrix}$$

$$\theta = 0, \phi = 0$$

$$\begin{bmatrix} \dot{\phi} \\ \dot{\theta} \\ \dot{\psi} \end{bmatrix} = \begin{bmatrix} p \\ q \\ r \end{bmatrix}$$

姿态角可以由加速度计测量得到，漂移小，但噪声大。另一方面，姿态角也可以通过陀螺仪测得角速度积分得到，噪声小，但漂移大。

互补滤波器的基本思想是利用它们各自的优势，在频域上特征互补，得到更精确的姿态角。

二、姿态估计

加速度计测量俯仰角无漂移但噪声大

$$\theta_{am} = \theta + n_{a\theta}$$

角速率陀螺测量角速率有漂移，但噪声小

$$\omega_m = \omega + c_\omega$$

$$\theta_{\omega m}(s) = \frac{\omega_m(s)}{s} = \theta + \frac{c_\omega}{s}$$

$$\theta(s) = \frac{1}{\tau s + 1} \theta(s) + \left(1 - \frac{1}{\tau s + 1}\right) \theta(s)$$

低通滤波器

高通滤波器

二、姿态估计

$$\theta(s) = \frac{1}{\tau s + 1} \theta(s) + \left(1 - \frac{1}{\tau s + 1}\right) \theta(s)$$

低通滤波器

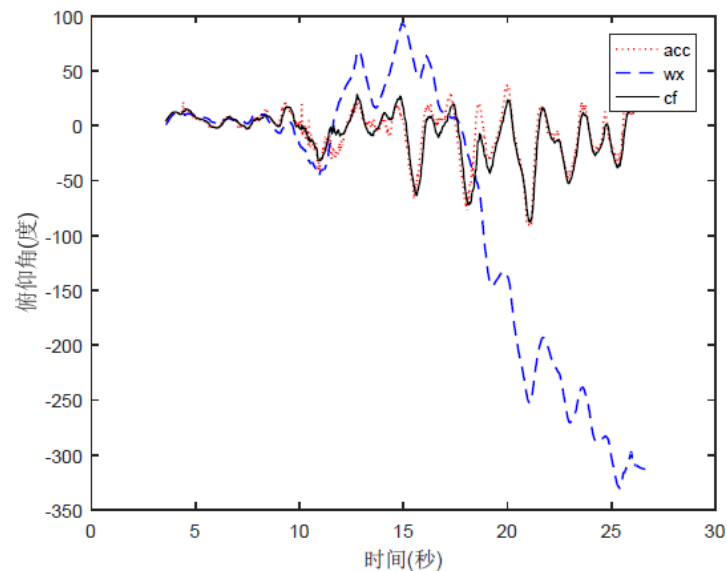
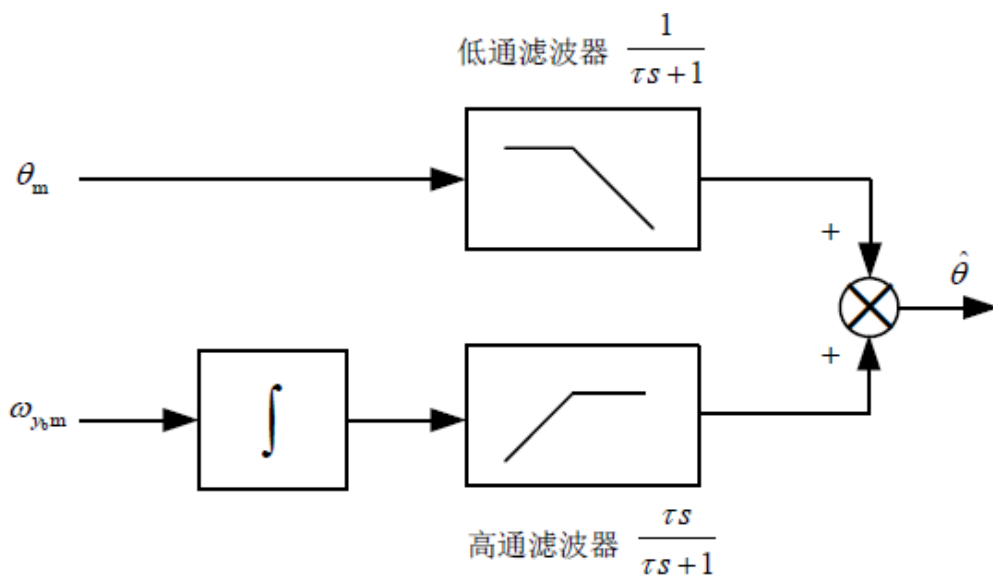
高通滤波器

$$\hat{\theta}(s) = \frac{1}{\tau s + 1} \theta_{am}(s) + \left(1 - \frac{1}{\tau s + 1}\right) \frac{\omega_m(s)}{s}$$



$$\hat{\theta}(s) = \theta + \frac{1}{\tau s + 1} n_{a\theta}(s) + \left(\frac{\tau s}{\tau s + 1}\right) \frac{c_\omega}{s}$$

二、姿态估计



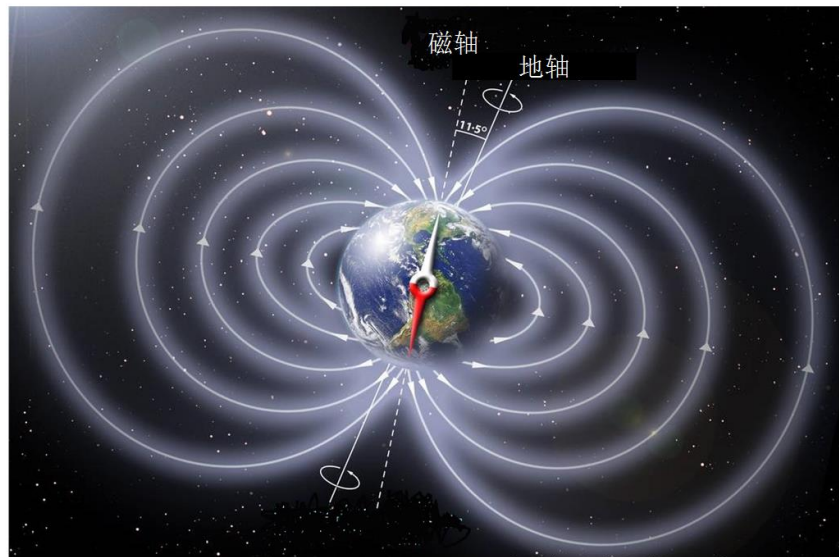
低通滤波器利用 θ_{am} 无漂移优势

高通滤波器利用 $\frac{\omega_m(s)}{s}$ 噪声小的优势

二、姿态估计



偏航角测量原理：



磁轴和地轴不是重合的，磁场在地球表面的水平投影**不是严格指向地轴**。

磁偏角是磁场强度矢量的水平投影与正北方向之间的夹角，即磁子午线与地理子午线之间的夹角。

各个地方的磁偏角不同，而且由于磁极也处在运动之中，某一地点磁偏角会随时间而改变。

因此，要精确找到**正北方向**，需要经过两步。

二、姿态估计



偏航角测量原理：

1) 第一步，确定磁场方向在水平面的向量，求出方位角。

磁力计的读数为 ${}^b\mathbf{m}_m = [m_{x_b} \quad m_{y_b} \quad m_{z_b}]^T$ 。考虑到磁力计可能不是水平放置，所以需要利用两轴倾角传感器测量的角度 (θ_m, ϕ_m) 将磁力计的测量值投影到水平面。因此，先做如下变换[1]

$$\bar{m}_{x_e} = m_{x_b} \cos \theta_m + m_{y_b} \sin \phi_m \sin \theta_m + m_{z_b} \cos \phi_m \sin \theta_m$$

$$\bar{m}_{y_e} = m_{y_b} \cos \phi_m - m_{z_b} \sin \phi_m$$

其中 $\bar{m}_{x_e}, \bar{m}_{y_e}$ 表示磁力计读数在水平面的投影。

二、姿态估计

偏航角测量原理：

1) 第一步，确定磁场方向在水平面的向量，求出方位角。

定义 $\psi_{\text{mag}} \in [0, 2\pi]$ ，那么可以表示为： 定义 $\psi_{\text{mag}} \in [-\pi, \pi]$ ，那么可以表示为：

$$\psi_{\text{mag}} = \begin{cases} \pi - \tan^{-1}(\bar{m}_y / \bar{m}_x) & \text{if } \bar{m}_x < 0, \\ 2\pi - \tan^{-1}(\bar{m}_y / \bar{m}_x) & \text{if } \bar{m}_x > 0, \bar{m}_y > 0, \\ -\tan^{-1}(\bar{m}_y / \bar{m}_x) & \text{if } \bar{m}_x > 0, \bar{m}_y < 0, \\ \pi/2 & \text{if } \bar{m}_x = 0, \bar{m}_y < 0, \\ 3\pi/2 & \text{if } \bar{m}_x = 0, \bar{m}_y > 0, \end{cases}$$

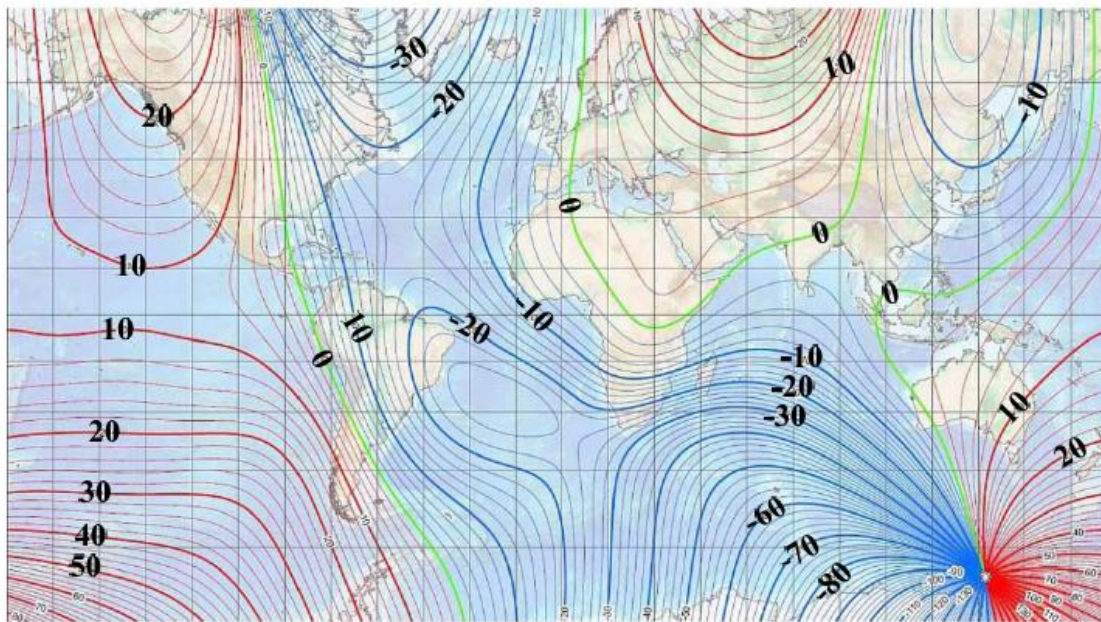
$$\psi_{\text{mag}} = \arctan 2(\bar{m}_{y_e}, \bar{m}_{x_e})$$

二、姿态估计

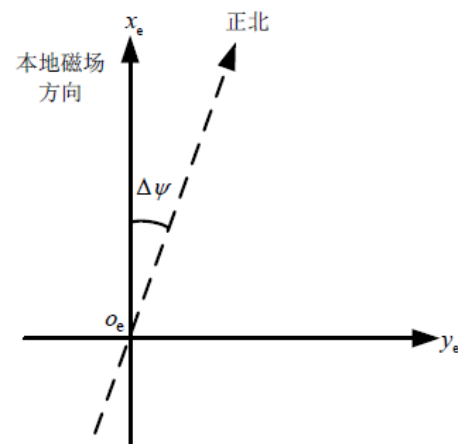


偏航角测量原理：

2) 第二步，加上或减去磁偏角修正到正北方向。



北京磁偏角约为 6° 偏西。
因此，在北京磁场方向上
加上 6° 的磁偏角，能找到
正北方。



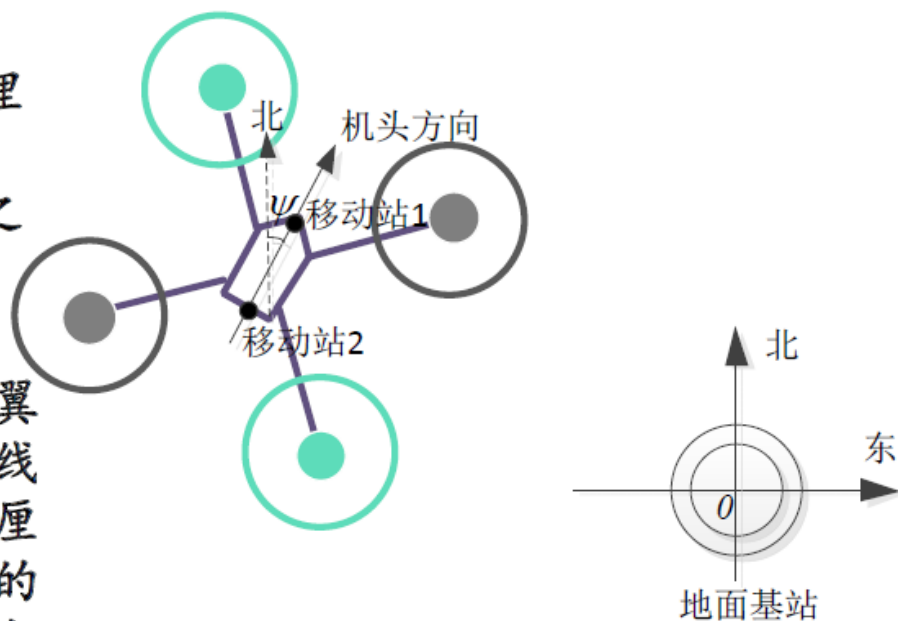
二、姿态估计

偏航角测量原理：

对于体型较大的飞行器，可以分别在机头和机尾安装GPS天线。通过测量它们的地理位置，来确定飞行器的偏航角。然而，对于小型多旋翼来说，安装空间很小，多个GPS之间基线很短，较难准确测定偏航角，除非利用高精度差分GPS。

如右图为**差分GPS**测向的原理。在多旋翼机头机尾装上两个差分GPS移动站（或双天线GPS），可以获取它们在地球固连坐标系下厘米级的定位精度，根据两点确定一条直线的方法，可以较简单地获取多旋翼的机头朝向。

注：两移动站分的越开，精度越高，距离越短精度越低，一般需要大于30cm。



差分GPS测向原理

三、卡尔曼滤波



航海

预测：船长通常以前一时刻的船位为基准，根据航向、航速和海流等一系列因素推算下一个船位。

观测：下一时刻，利用仪器得到观测的船位

预测和观测船位一般不重合，船长需要根据**预测、观测**综合判断一个**可靠的船位**。

卡尔曼滤波思想：

以 $k-1$ 时刻的最优估计 X_{k-1} 为例，预测 k 时刻的状态变量 $\hat{X}_{k/k-1}$ ，同时又对该状态进行观测，得到观测变量 Z_k ，再在预测与观测之间进行分析，或者说是以观测量对预测量进行**修正**，从而得到 k 时刻的最优状态估计 X_k

三、卡尔曼滤波



航海

预测：船长通常以前一时刻的船位为基准，根据航向、航速和海流等一系列因素推算下一个船位。

观测：下一时刻，利用仪器得到观测的船位

预测和观测船位一般不重合，船长需要根据**预测、观测**综合判断一个**可靠的船位**。

卡尔曼滤波思想：**真实的理论值是不可能被正确观测到的**

以 $k-1$ 时刻的最优估计 X_{k-1} 为例，预测 k 时刻的状态变量 $\hat{X}_{k/k-1}$ ，同时又对该状态进行观测，得到观测变量 Z_k ，再在预测与观测之间进行分析，或者说是以观测量 Z_k 对预测量 $\hat{X}_{k/k-1}$ 进行**修正**，从而得到 k 时刻的最优状态估计 X_k

概述

卡尔曼滤波器是一种递推线性最小方差估计算法。它的最优估计需满足以下三个条件：

1) 无偏性：即估计值的期望等于状态的真值；

若 $E(\hat{\theta}) = \theta$ ，那么意味着 $\hat{\theta}$ 是参数 θ 的无偏估计，否则为有偏估计，其中， $E(\cdot)$ 表示期望。

2) 估计的方差最小；

若 $D(\hat{\theta}) = E((\hat{\theta} - \theta)^2)$ ，如果对于任意一个估计 $\tilde{\theta}$ ，我们有 $D(\hat{\theta}) \leq D(\tilde{\theta})$ ，那么称 $\hat{\theta}$ 为最小方差估计，其中 $D(\cdot)$ 表示方差。

3) 实时性。

三、卡尔曼滤波

一种利用线性系统状态方程，通过状态预测和观测数据，对系统状态进行最优估计的算法。由于系统模型和观测数据中包括的噪声和干扰的影响，所以最优估计也可看作是滤波过程。

过程方程:
$$X(k) = AX(k-1) + BU(k) + \omega(k)$$

观测方程:
$$Z(k) = HX(k) + v(k)$$

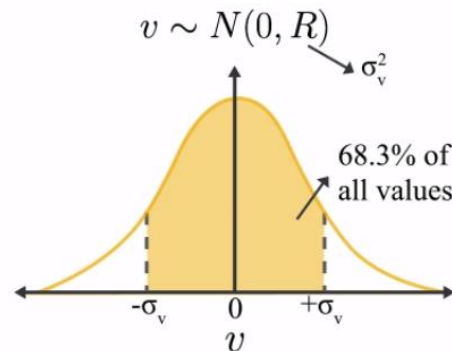
$X(k)$: K时刻的状态估计值

$Z(k)$: K时刻观测值

$U(k)$: K时刻控制量

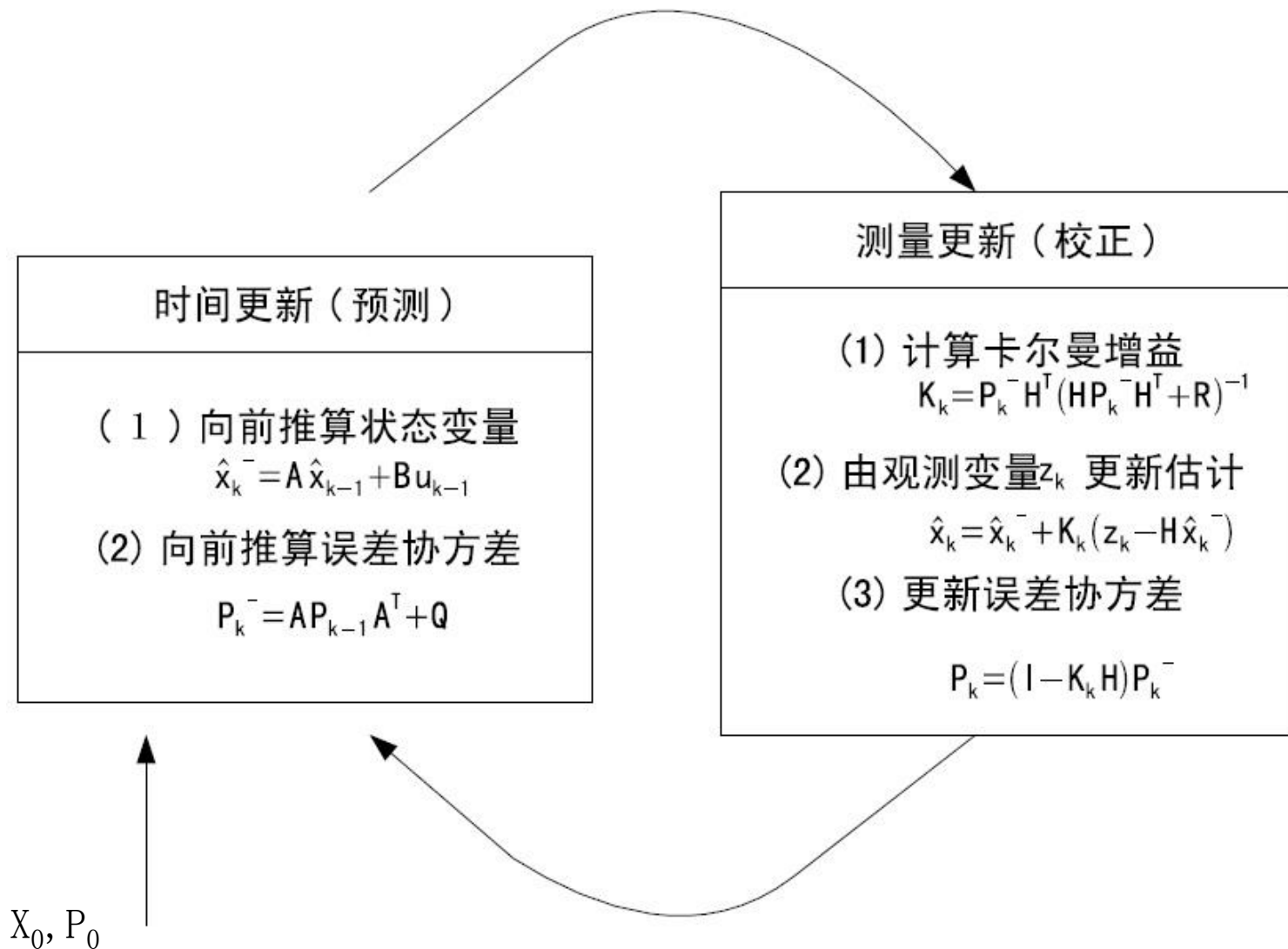
$W(k)$: 过程噪声

$V(k)$: 量测噪声



$w \sim N(0, Q)$ $\rightarrow \sigma_w^2$

三、卡尔曼滤波



三、卡尔曼滤波



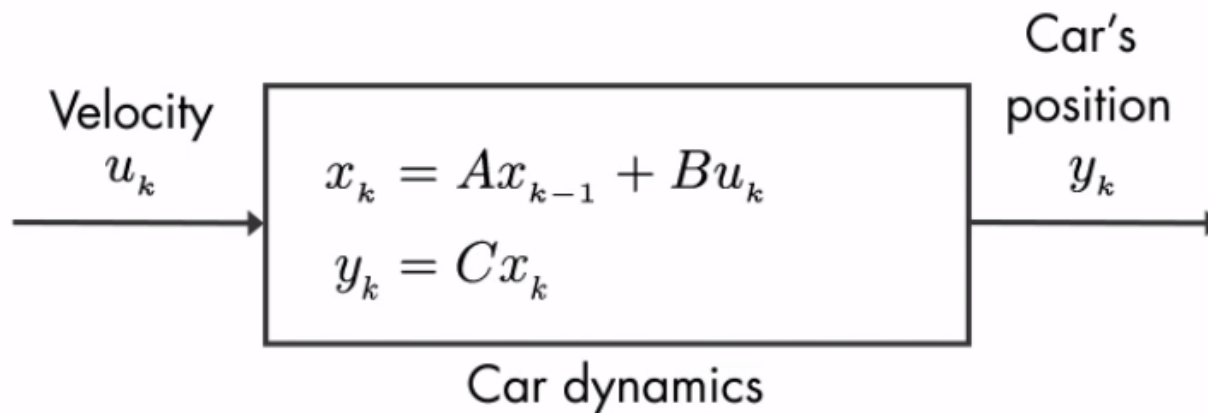
Self-driving car
locates itself using GPS

x_k : 系统状态 $x_k = [P]$

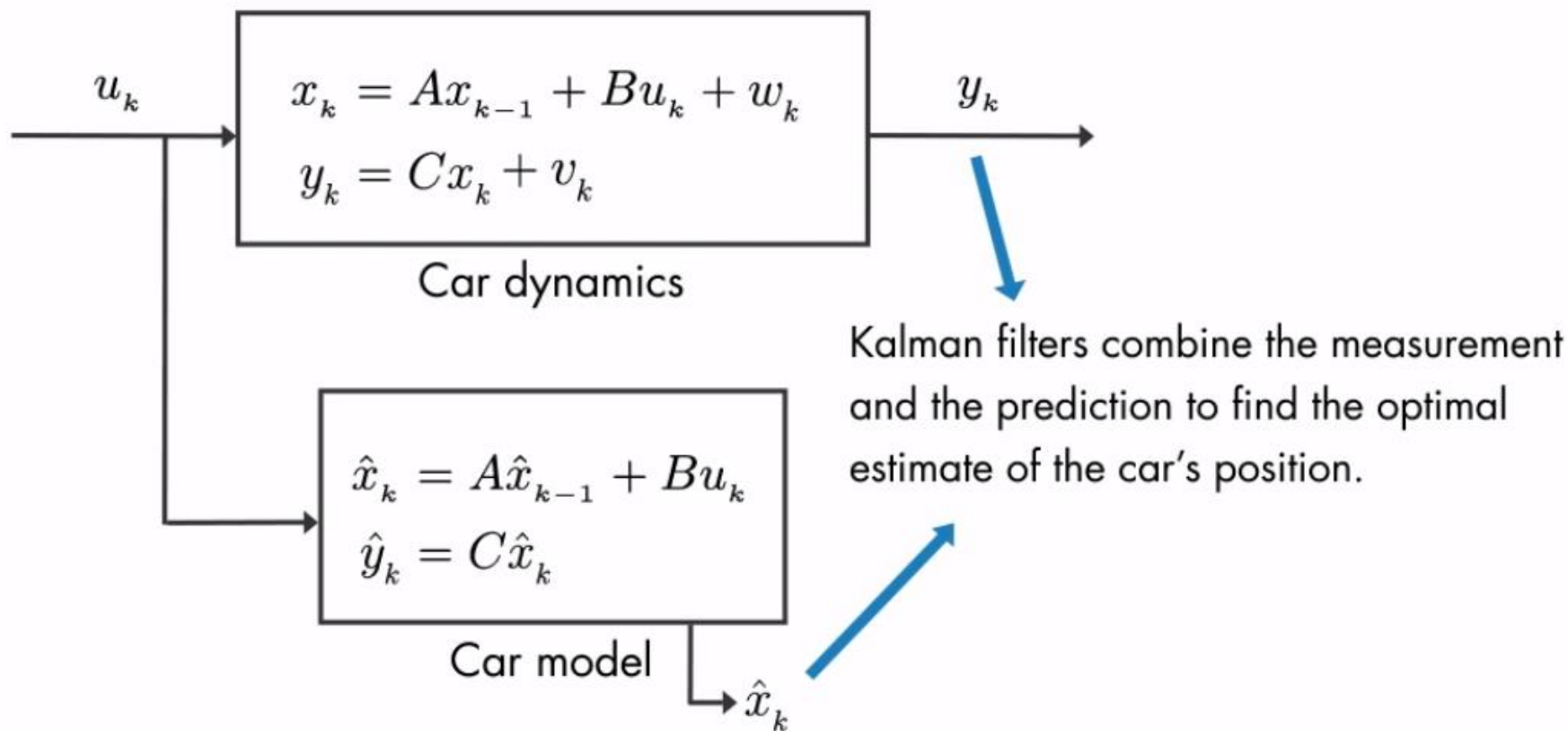
w_k : 过程噪声

$C=1$

v_k : 量测噪声

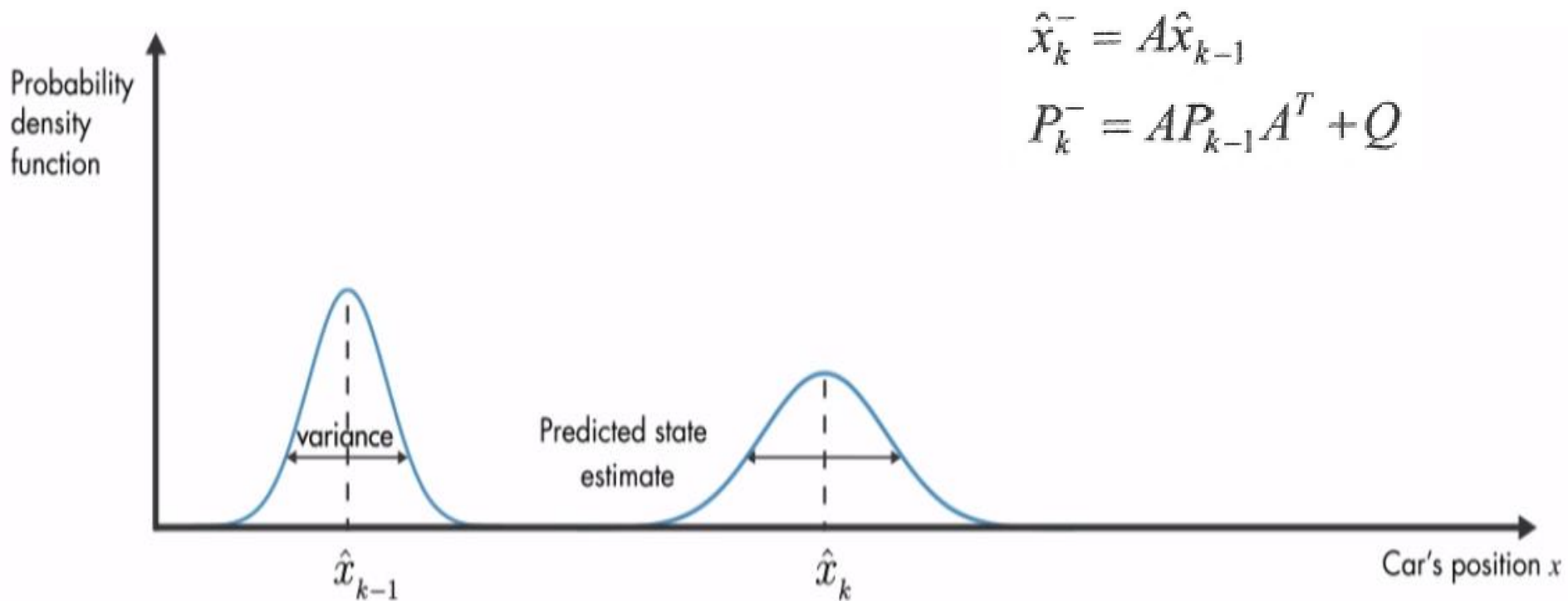


三、卡尔曼滤波



三、卡尔曼滤波

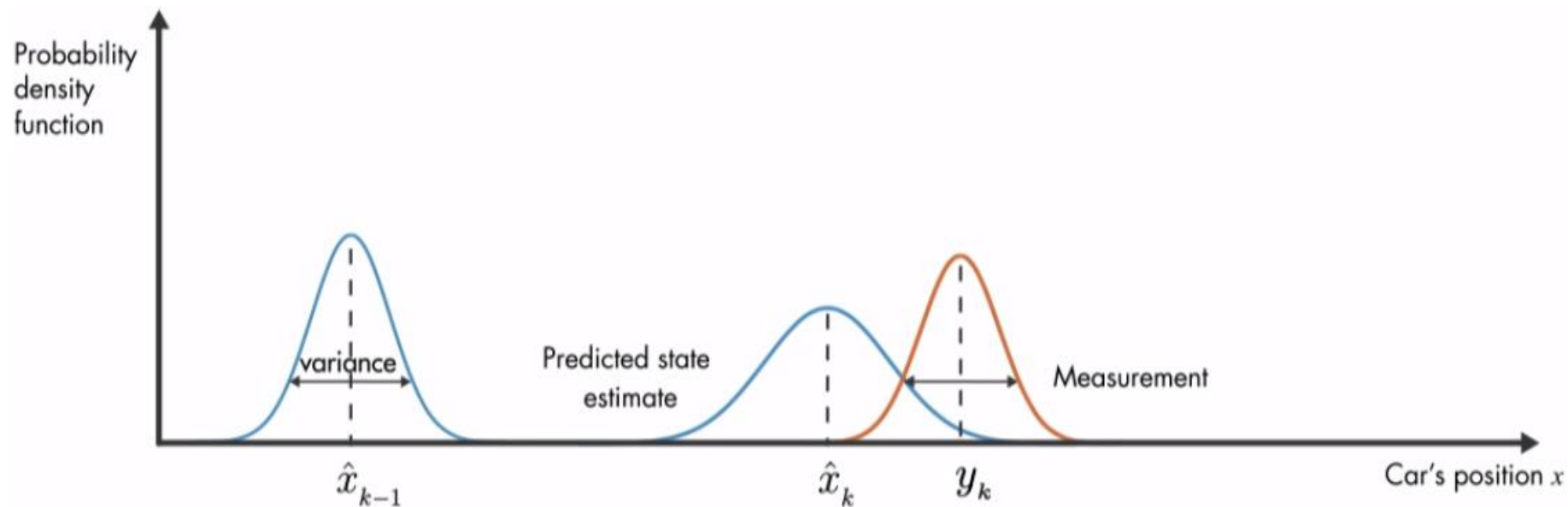
- 预测过程



三、卡尔曼滤波



- 获得测量值



Probability and variance of measurement

三、卡尔曼滤波

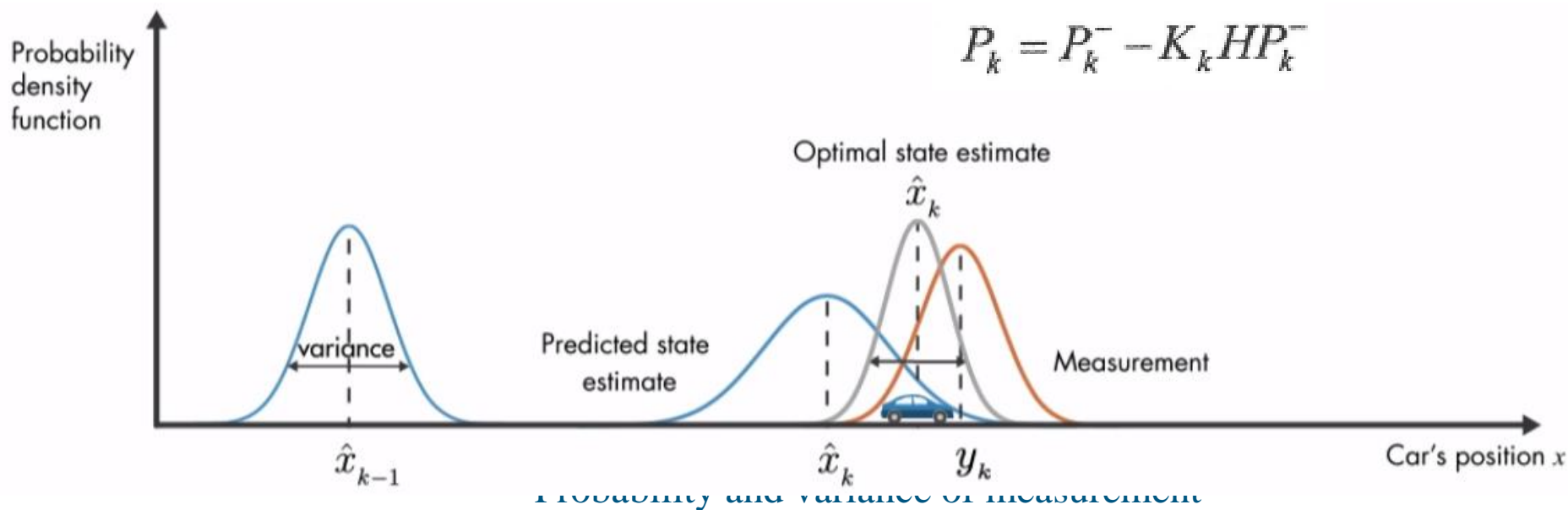


估计最优状态

$$K_k = P_k^- H^T (H P_k^- H^T + R)^{-1}$$

$$\hat{x}_k = \hat{x}_k^- + K_k (z_k - H \hat{x}_k^-)$$

$$P_k = P_k^- - K_k H P_k^-$$





三、卡尔曼滤波

真实值与估计值之间误差：
$$e_k = x_k - \hat{x}_k = x_k - (\hat{x}'_k + K_k(Hx_k + v_k - H\hat{x}'_k))$$

$$= (I - K_k H)(x_k - \hat{x}'_k) - K_k v_k$$

估计误差协方差矩阵：
$$P_k = E[e_k e_k^T]$$

$$\begin{aligned} P_k &= E[(I - K_k H)(x_k - \hat{x}'_k) - K_k v_k][(I - K_k H)(x_k - \hat{x}'_k) - K_k v_k]^T \\ &= (I - K_k H)E[(x_k - \hat{x}'_k)(x_k - \hat{x}'_k)^T](I - K_k H)^T + K_k E[v_k v_k^T]K^T \end{aligned}$$

其中， $E[v_k v_k^T] = R$ ，并将预测的误差协方差矩阵带入，得：

$$P_k = (I - K_k H)P'_k(I - K_k H)^T + K_k R K_k^T$$

卡尔曼滤波的本质为最小均方差估计，通过最小化协方差矩阵的迹，获得卡尔曼增益K

$$tr(P_k) = tr(P'_k) - 2tr(K_k H P'_k) + tr(K_k (H P'_k H^T + R) K_k^T)$$

令 $\frac{\partial tr(P_k)}{\partial K_k} = 0$ ，得：

$$K_k = P'_k H^T (H P'_k H^T + R)^{-1}$$



例子

研究房间的温度，以一分钟为时间单位。根据经验，房间温度是恒定的，但对于经验不能完全相信，可能存在上下几度偏差，该偏差可看成是高斯白噪声。

另外，放一个温度计，测量值与实际值存在偏差，偏差也是高斯白噪声。

根据经验温度和测量值以及各自的噪声来估算房间的实际温度。

k-1时刻温度是23度，标准差是3度，预测不确定性的标准差是4度。

预测：利用k-1时刻温度来预测k时刻的温度，如果温度恒定，预测值和k-1时刻一样，假定23度，同时预测值的高斯白噪声偏差是5度。

观测：温度计观测值是25度，测量标准差是4度。

估计：权重 $K_k = \sqrt{\frac{5^2}{5^2 + 4^2}} = 0.78$

K时刻最优温度 $23 + 0.78 * (25 - 23) = 24.56$



EKF

假设非线性离散系统模型如下：

$$\begin{aligned} \mathbf{x}_k &= \mathbf{f}(\mathbf{x}_{k-1}, \mathbf{u}_{k-1}, \mathbf{w}_{k-1}) \\ \mathbf{z}_k &= \mathbf{h}(\mathbf{x}_k, \mathbf{v}_k) \end{aligned}$$

将非线性函数 $\mathbf{f}(\cdot)$ 围绕 $(k-1)$ 次滤波值 $\hat{\mathbf{x}}_{k-1|k-1}$ 展开成Taylor级数的形式，并忽略二次以上的高阶项，得到

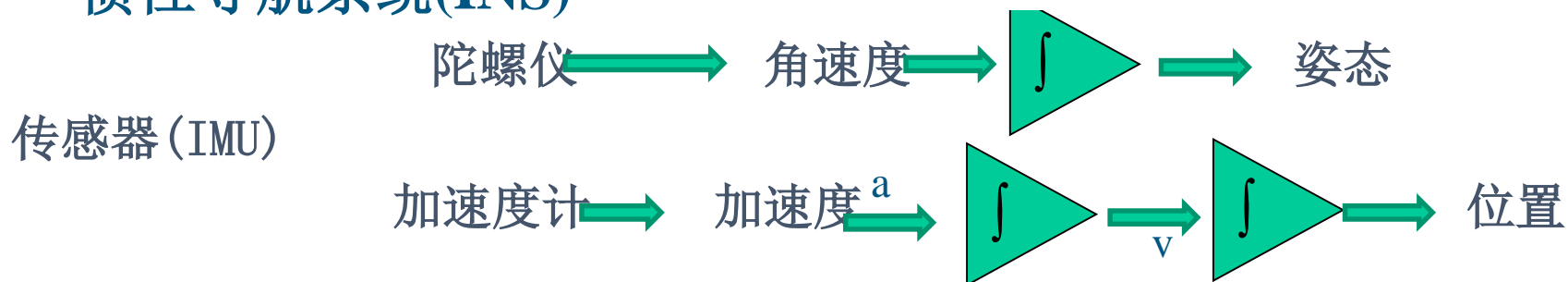
$$\begin{aligned} \mathbf{f}(\mathbf{x}_{k-1}, \mathbf{u}_{k-1}, \mathbf{w}_{k-1}) &= \mathbf{f}(\hat{\mathbf{x}}_{k-1|k-1}, \mathbf{u}_{k-1}, \mathbf{0}) + \left. \frac{\partial \mathbf{f}(\mathbf{x}, \mathbf{u}_{k-1}, \mathbf{w})}{\partial \mathbf{x}} \right|_{\mathbf{x}=\hat{\mathbf{x}}_{k-1|k-1}, \mathbf{w}=\mathbf{0}} (\mathbf{x}_{k-1} - \hat{\mathbf{x}}_{k-1|k-1}) \\ &\quad + \left. \frac{\partial \mathbf{f}(\mathbf{x}, \mathbf{u}_{k-1}, \mathbf{w})}{\partial \mathbf{w}} \right|_{\mathbf{x}=\hat{\mathbf{x}}_{k-1|k-1}, \mathbf{w}=\mathbf{0}} \mathbf{w}_{k-1} \end{aligned}$$

四、机载数据融合

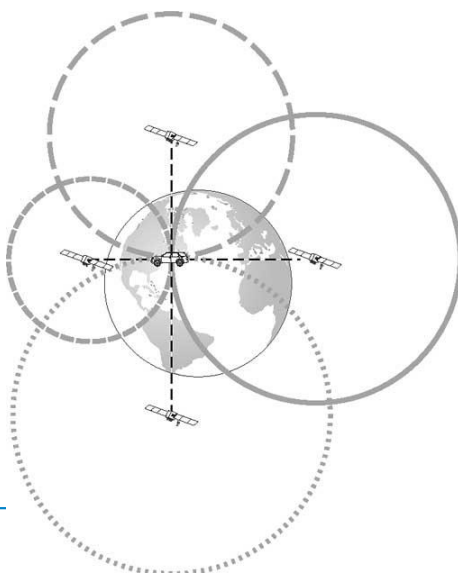


特点： 短时精度高
无需与外界联系
可提供全姿态参数
随时间漂移

- 惯性导航系统(INS)



- 卫星导航系统



特点： 不随时间漂移
定位精度高
信号易受干扰

由于单纯使用一种导航系统难以满足导航性能要求，需要将几种非相似、可互补的导航系统对同一导航参数进行测量，并利用数据融合算法解算出导航参数，以实现优势互补，提高导航系统的冗余度和可靠性，这就是组合导航技术的思想。

采用了扩展卡尔曼滤波（EKF）法对多传感器的数据进行融合，给出了较为准确的导航状态估计值。

16 状态EKF:

$$x(t) = [q_0, q_1, q_2, q_3, x_{pos}, y_{pos}, z_{pos}, u, v, w, b_{ax}, b_{ay}, b_{az}, b_{\omega x}, b_{\omega y}, b_{\omega z}]$$

- 导航系（NED）到机体系四元数
- 位置（NED）
- 速度（NED）
- 加速度计零偏
- 陀螺仪零偏

传感器:

- IMU测量三轴角速度和加速度
- GPS测量当地NED坐标系下的位置
- GPS测量当地NED坐标系下的速度
- 气压计测高度
- 三轴磁力计测量航向角

● 系统模型

$$\dot{x}(t) = f(t, x(t), u(t)) + w(t)$$

$$\begin{bmatrix} \dot{\hat{q}}_0 \\ \dot{\hat{q}}_1 \\ \dot{\hat{q}}_2 \\ \dot{\hat{q}}_3 \end{bmatrix} = \frac{1}{2} \begin{bmatrix} 0 & -(\omega_{IMUx} - \hat{b}_p) & -(\omega_{IMUy} - \hat{b}_q) & -(\omega_{IMUz} - \hat{b}_r) \\ \omega_{IMUx} - \hat{b}_p & 0 & \omega_{IMUz} - \hat{b}_r & -(\omega_{IMUy} - \hat{b}_q) \\ \omega_{IMUy} - \hat{b}_p & -(\omega_{IMUz} - \hat{b}_r) & 0 & \omega_{IMUx} - \hat{b}_p \\ \omega_{IMUz} - \hat{b}_r & \omega_{IMUy} - \hat{b}_q & -(\omega_{IMUx} - \hat{b}_p) & 0 \end{bmatrix} \begin{bmatrix} \hat{q}_0 \\ \hat{q}_1 \\ \hat{q}_2 \\ \hat{q}_3 \end{bmatrix}$$

$$\dot{\hat{x}} = \hat{v}$$

$$\dot{\hat{v}} = \hat{T}_{b \rightarrow i}(a_{IMU} - \hat{b}_a) + g$$

$$\dot{\hat{b}}_a = 0$$

$$\dot{\hat{b}}_\omega = 0$$

● 观测量

$$Z = \begin{bmatrix} x & y & z & v_x & v_y & v_z & h & \psi & \vartheta & \phi \end{bmatrix}$$

● 观测模型

$$x_{poscg} = x_{posGPS} - T_{b \rightarrow i} r_{GPS} - w_x$$

$$v_{cg} = v_{GPS} - T_{b \rightarrow i} \omega \times r_{GPS} - w_v$$

$$h_{cg} = -h_{sensor} - T_{b \rightarrow i} [3] r_{sensor} + h_t - w_{sensor}$$

● EKF过程

$$\dot{\hat{x}}(t) = f(t, \hat{x}_k^+, u)$$

预测:

$$\hat{x}_{k+1}^- = \hat{x}_k^+ + \frac{\Delta t}{2}(\dot{\hat{x}}_{k+1}^- + \dot{\hat{x}}_k)$$

$$\dot{P}(t_k) = F(t, \hat{x}_k^-, u_k)P_k^- + P_k^- F^T(t, \hat{x}_k^-, u_k) + Q(t_k)$$

$$P_{k+1}^- = P_k^+ + \dot{P}(t_k)\Delta t$$

更新:

$$K_k = P_k^- H_k^T [H_k P_k^- H_k^T + R_k]^{-1}$$

$$\hat{x}_k^+ = \hat{x}_k^- + K_k(z_k - h_k(t_k, \hat{x}_k^-, u_k))$$

$$P_k^+ = (I - K_k H_k) P_k^-$$

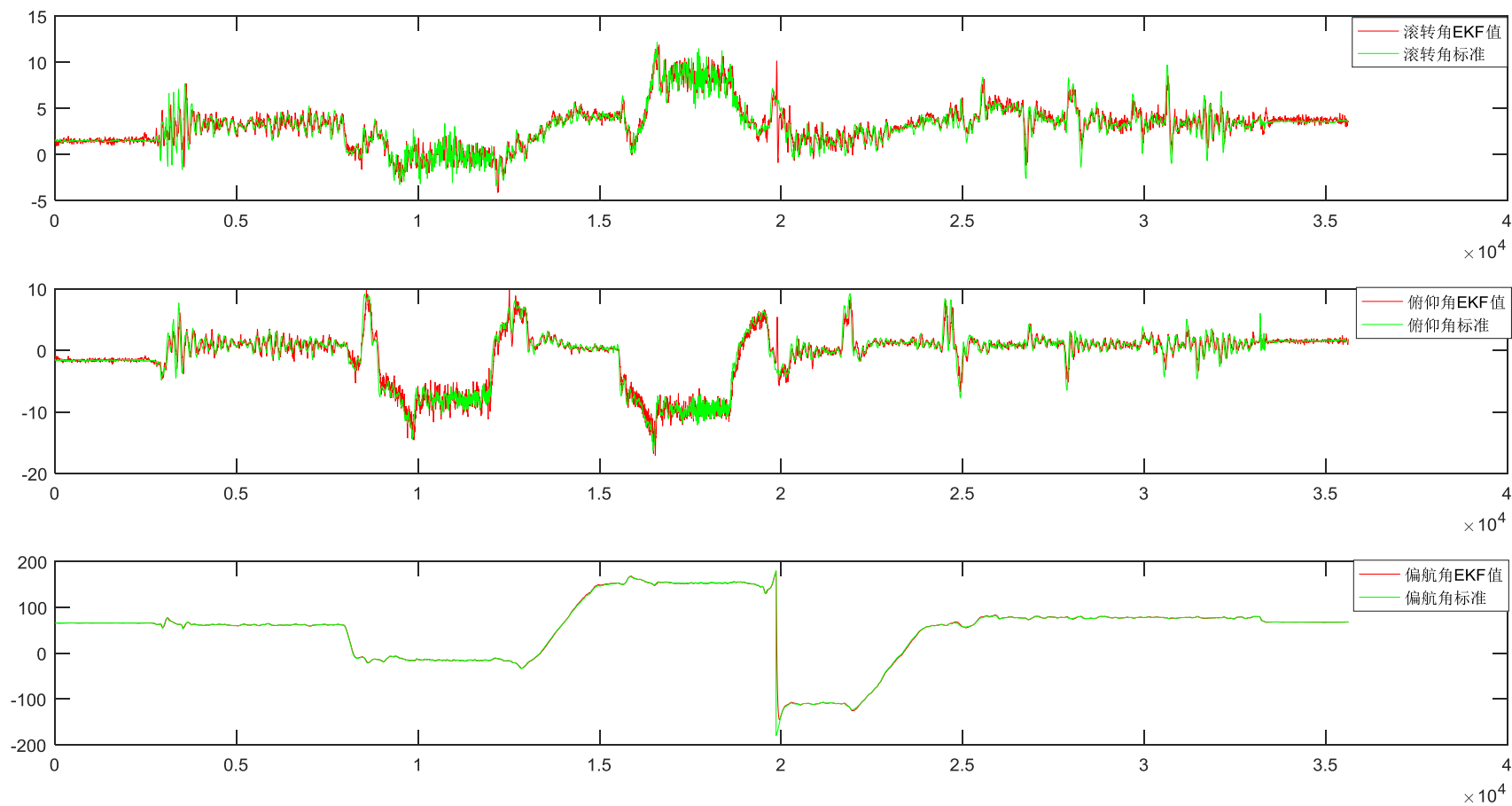
$$F_k = \left. \frac{\partial f}{\partial x} \right|_{x=\hat{x}_k^-}$$

$$H_k = \left. \frac{\partial h_k}{\partial x} \right|_{x=\hat{x}_k^-}$$

四、机载数据融合



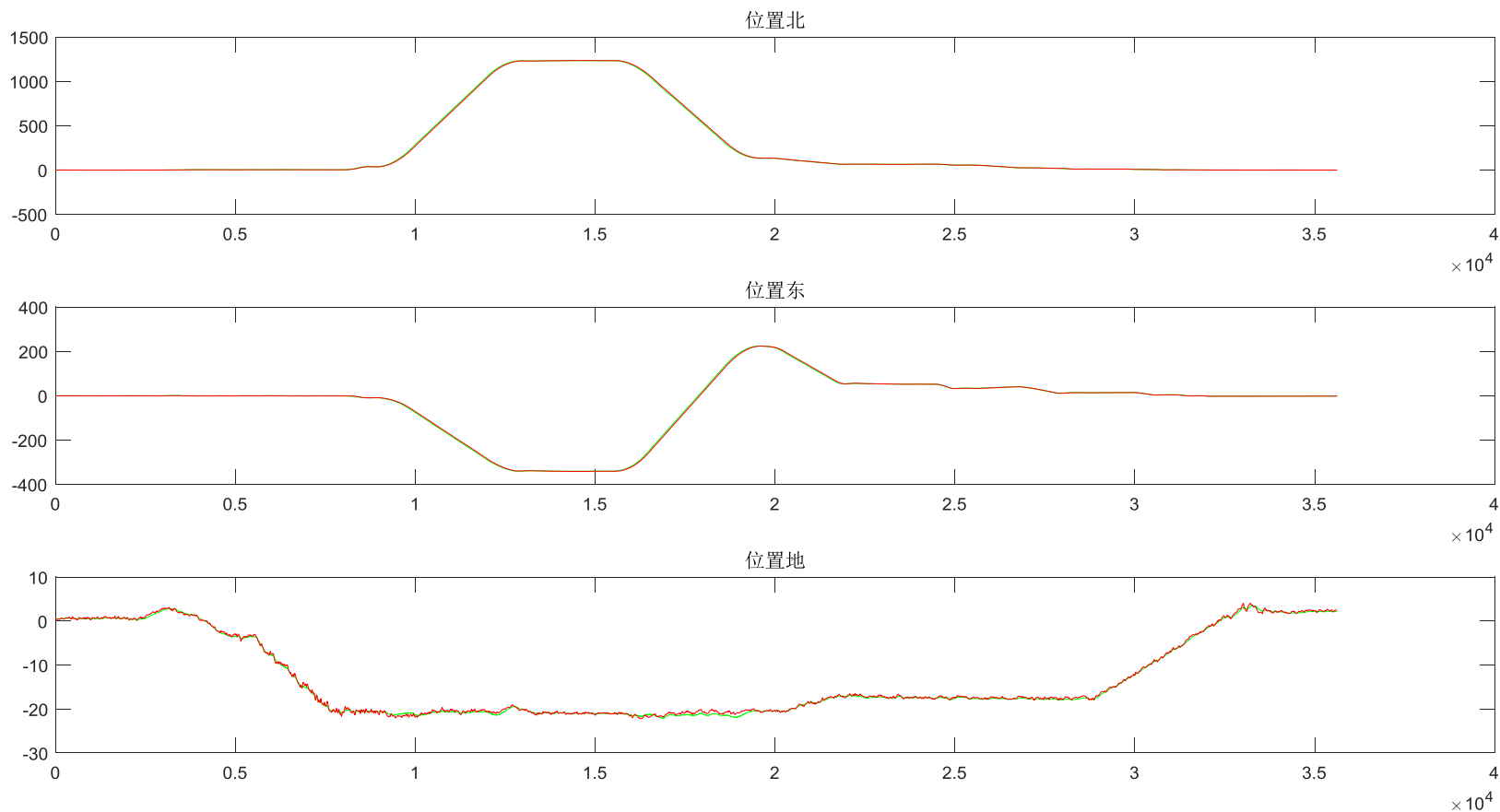
Matlab仿真结果——姿态角



四、机载数据融合



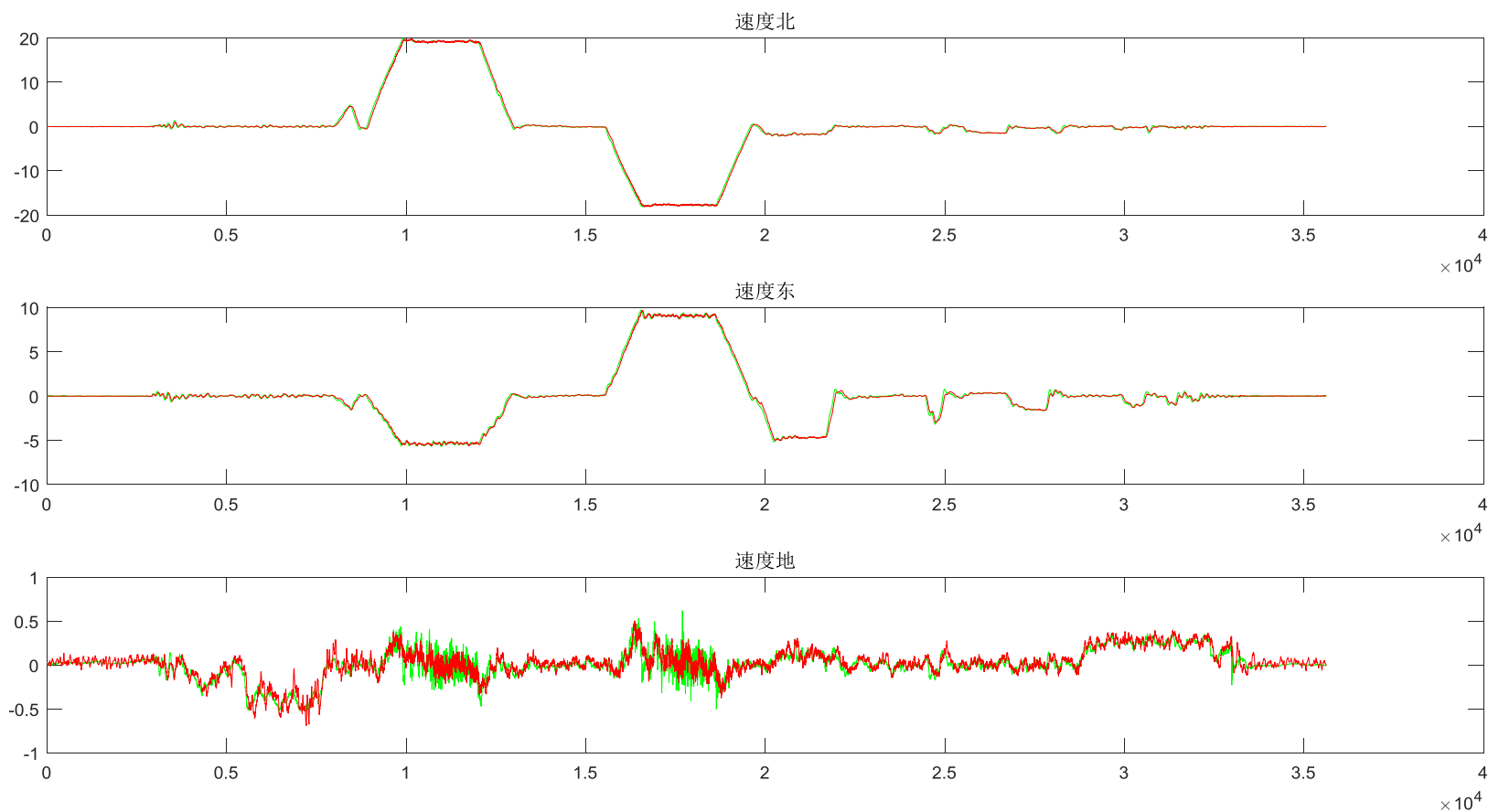
Matlab仿真结果——北东地位置



四、机载数据融合



Matlab仿真结果——北东地速度



RTS平滑器

平滑器用于在一定时间 t 之后使用测量值来估计状态量。通常使用两个过滤器：前向滤波器和后向滤波器，前向滤波器采用扩展卡尔曼滤波器。

Initialization:

$$\hat{\mathbf{x}}_{0|0}^f = \bar{\mathbf{x}}_0$$

$$\mathbf{P}_{0|0}^f = \mathbf{P}_0$$

Prediction:

$$\hat{\mathbf{x}}_{i|i-1}^f = \Phi_{i-1} \hat{\mathbf{x}}_{i-1|i-1}^f + \Gamma_{i-1} \mathbf{u}_{i-1}$$

$$\mathbf{P}_{i|i-1}^f = \Phi_{i-1} \mathbf{P}_{i-1|i-1}^f \Phi_{i-1}^T + \Gamma_{w,i-1} \mathbf{Q}_{i-1} \Gamma_{w,i-1}^T$$

Update:

$$\mathbf{K}_i^f = \mathbf{P}_{i|i-1}^f \mathbf{C}_i^T [\mathbf{C}_i \mathbf{P}_{i|i-1}^f \mathbf{C}_i^T + \mathbf{R}_i]^{-1}$$

$$\hat{\mathbf{x}}_{i|i}^f = \hat{\mathbf{x}}_{i|i-1}^f + \mathbf{K}_i^f [z_i - \mathbf{C}_i \hat{\mathbf{x}}_{i|i-1}^f - \mathbf{D}_i \mathbf{u}_i]$$

$$\mathbf{P}_{i|i}^f = [\mathbf{I} - \mathbf{K}_i^f \mathbf{C}_i] \mathbf{P}_{i|i-1}^f$$

Forward Filter

Initialization:

$$\hat{\mathbf{x}}_{N|N}^b = \bar{\mathbf{x}}_N$$

$$\mathbf{P}_{N|N}^b = \mathbf{P}_N$$

Prediction:

$$\hat{\mathbf{x}}_{i|i+1}^b = (\Phi_i)^{-1} [\hat{\mathbf{x}}_{i+1|i+1}^b + \Gamma_i \mathbf{u}_i]$$

$$\mathbf{P}_{i|i+1}^b = (\Phi_i)^{-1} [\mathbf{P}_{i+1|i+1}^b + \Gamma_{w,i} \mathbf{Q}_i \Gamma_{w,i}^T] (\Phi_i)^{-T}$$

Update:

$$\mathbf{K}_i^b = \mathbf{P}_{i|i+1}^b \mathbf{C}_i^T [\mathbf{C}_i \mathbf{P}_{i|i+1}^b \mathbf{C}_i^T + \mathbf{R}_i]^{-1}$$

$$\hat{\mathbf{x}}_{i|i}^b = \hat{\mathbf{x}}_{i|i+1}^b + \mathbf{K}_i^b [z_i - \mathbf{C}_i \hat{\mathbf{x}}_{i|i+1}^b - \mathbf{D}_i \mathbf{u}_i]$$

$$\mathbf{P}_{i|i}^b = [\mathbf{I} - \mathbf{K}_i^b \mathbf{C}_i] \mathbf{P}_{i|i+1}^b$$

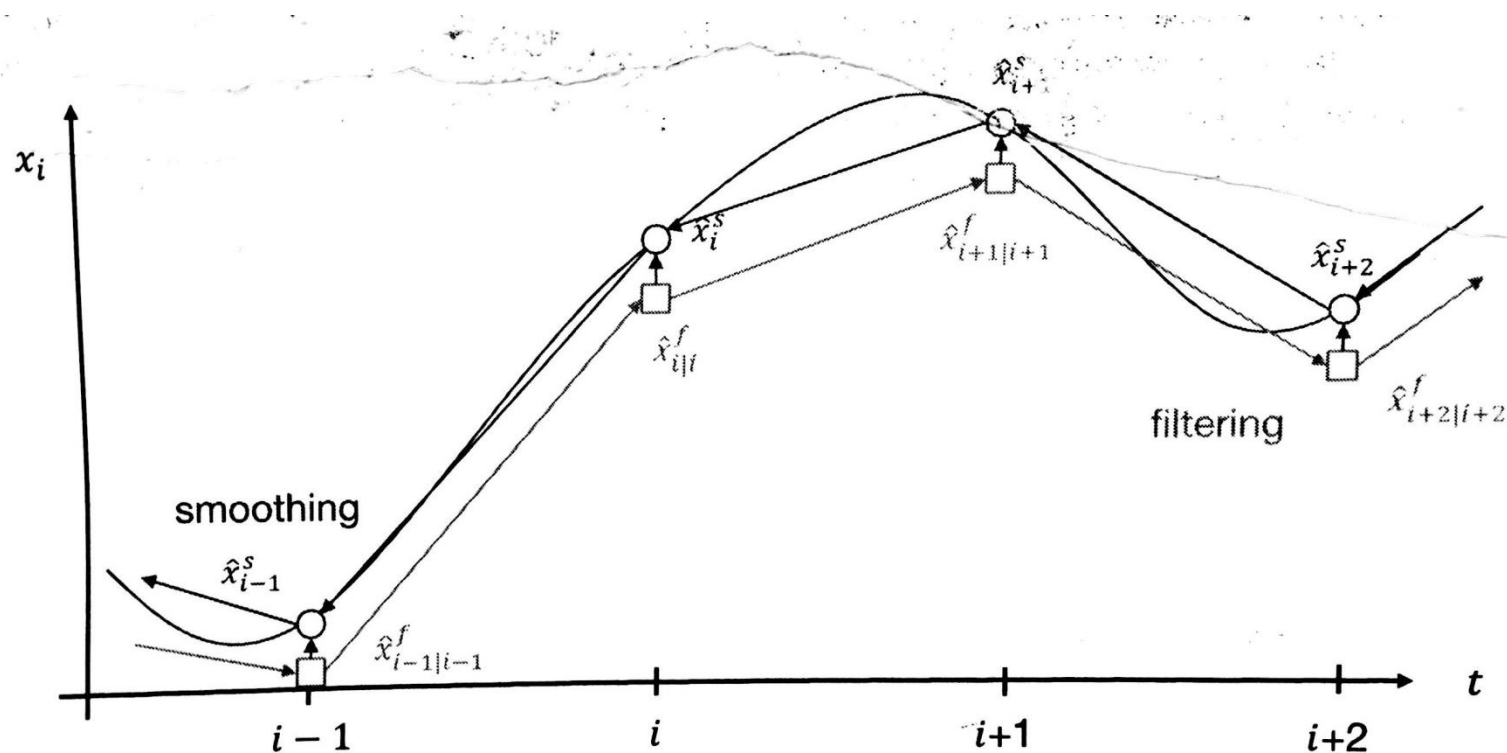
Backward Filter

五、RTS平滑器



Rauch-Tung-Striebel平滑器 (RTS)

RTS是前向滤波器和后向滤波器的线性最佳组合。





EKF-RTS:

Prediction step:

$$\overline{x}_a(k+1) = \hat{x}_a(k) + \int_{t_k}^{t_{k+1}} f_a[\hat{x}_a(t), \overline{u}_m(k)] dt$$

$$\tilde{\mathbf{P}}(k+1) = \mathbf{\Phi}(k+1) \hat{\mathbf{P}}(k+1) \mathbf{\Phi}^T(k+1) + \mathbf{\Psi}(k+1) \mathbf{B}(k) \mathbf{Q}(k) \mathbf{B}^T(k) \mathbf{\Psi}^T(k+1)$$

$$x_a(0) = x_{a0}, \hat{\mathbf{P}}(0) = \mathbf{P}_0$$

Correction step:

$$\mathbf{K}(k) = \tilde{\mathbf{P}}(k) \mathbf{C}^T(k) \{ \mathbf{C}(k) \tilde{\mathbf{P}}(k) \mathbf{C}^T(k) + \mathbf{R}(k) \}^{-1}$$

$$\hat{x}_a(k) = \tilde{x}_a(k) + \mathbf{K}(k) \{ z(k) - y[\overline{x}_a(k)] \}$$

$$\hat{\mathbf{P}}(k) = \{ \mathbf{I} - \mathbf{K}(k) \mathbf{C}(k) \} \tilde{\mathbf{P}}(k) \{ \mathbf{I} - \mathbf{K}(k) \mathbf{C}(k) \}^T + \mathbf{K}(k) \mathbf{R}(k) \mathbf{K}^T(k), \quad k = 1, 2, \dots, N$$



平滑状态估计和状态误差协方差矩阵可以表示为：

$$\mathbf{K}_S(k) = \hat{\mathbf{P}}(k) \boldsymbol{\Phi}^T(k+1) \tilde{\mathbf{P}}^{-1}(k+1)$$

$$x_{aS}(k) = \hat{x}_a(k) + \mathbf{K}_S(k) \{x_{aS}(k+1) - \hat{x}_a(k+1)\}$$

$$\begin{aligned} \mathbf{P}_S(k) = & \{I - \mathbf{K}_S(k) \boldsymbol{\Phi}(k+1)\} \hat{\mathbf{P}}(k) \{I - \mathbf{K}_S(k) \boldsymbol{\Phi}(k+1)\}^T \\ & + \mathbf{K}_S(k) \{ \tilde{\mathbf{P}}(k+1) + \boldsymbol{\Psi}(k+1) \mathbf{B}(k) \mathbf{Q}(k) \mathbf{B}^T(k) \boldsymbol{\Psi}^T(k+1) \} \mathbf{K}_S^T(k) \end{aligned} \quad k = N-1, N-2, \dots$$



FPR的准备

待估计的状态

刚体状态

$$\begin{bmatrix} p_k \\ q_k \\ r_k \end{bmatrix}_B \begin{bmatrix} \Phi \\ \theta \\ \Psi \end{bmatrix} \begin{bmatrix} u_k^G \\ v_k^G \\ w_k^G \end{bmatrix}_B h^G$$

外部力和力矩

$$\begin{bmatrix} L_{AP}^G \\ M_{AP}^G \\ N_{AP}^G \end{bmatrix}_B \begin{bmatrix} X_{AP}^G \\ Y_{AP}^G \\ Z_{AP}^G \end{bmatrix}_B$$

传感器偏差

$$\begin{bmatrix} \Delta n_x \\ \Delta n_y \\ \Delta n_z \end{bmatrix} \begin{bmatrix} \Delta p \\ \Delta q \\ \Delta r \end{bmatrix}$$

测量

IMU

$$\begin{bmatrix} p_k \\ q_k \\ r_k \end{bmatrix}_B \begin{bmatrix} n_x \\ n_y \\ n_z \end{bmatrix}_B$$

GPS

$$\begin{bmatrix} u_k^G \\ v_k^G \\ w_k^G \end{bmatrix}_o h^G$$

五、RTS平滑器



系统方程

刚体状态

外部力和力矩

传感器偏差

$$\begin{bmatrix} \dot{p}_k \\ \dot{q}_k \\ \dot{r}_k \\ \dot{\Phi} \\ \dot{\Theta} \\ \dot{\Psi} \\ \dot{u}_k^G \\ \dot{v}_k^G \\ \dot{w}_k^G \\ \dot{f}_2^G \\ \begin{bmatrix} \dot{L}_{AP}^G \\ \dot{M}_{AP}^G \\ \dot{N}_{AP}^G \end{bmatrix}_B \\ \begin{bmatrix} \dot{X}_{AP}^G \\ \dot{Y}_{AP}^G \\ \dot{Z}_{AP}^G \end{bmatrix}_B \\ \begin{bmatrix} \Delta p \\ \Delta q \\ \Delta r \\ \Delta \hat{p}_x \\ \Delta \hat{p}_y \\ \Delta \hat{p}_z \end{bmatrix} \end{bmatrix} = \begin{bmatrix} \begin{bmatrix} I_{xx}^G & 0 & -I_{xz}^G \\ 0 & I_{yy}^G & 0 \\ -I_{xz}^G & 0 & I_{zz}^G \end{bmatrix} \left\{ \begin{bmatrix} L_{AP}^G \\ M_{AP}^G \\ N_{AP}^G \end{bmatrix} - \begin{bmatrix} p_k \\ q_k \\ r_k \end{bmatrix} \times \begin{bmatrix} I_{xx}^G & 0 & -I_{xz}^G \\ 0 & I_{yy}^G & 0 \\ -I_{xz}^G & 0 & I_{zz}^G \end{bmatrix} \begin{bmatrix} p_k \\ q_k \\ r_k \end{bmatrix} \right\} \\ \begin{bmatrix} 1 & \sin \Phi \tan \theta & \cos \Phi \tan \theta \\ 0 & \cos \Phi & -\sin \Phi \\ -I_{xz}^G & \sin \Phi / \cos \theta & \cos \Phi / \cos \theta \end{bmatrix} \begin{bmatrix} p_k \\ q_k \\ r_k \end{bmatrix} \\ \frac{1}{m} \begin{bmatrix} X_{AP}^G \\ Y_{AP}^G \\ Z_{AP}^G \end{bmatrix} + g \cdot \begin{bmatrix} -\sin \theta \\ \cos \theta \sin \Phi \\ \cos \theta \cos \Phi \end{bmatrix} - \begin{bmatrix} p_k \\ q_k \\ r_k \end{bmatrix} \times \begin{bmatrix} u_k^G \\ v_k^G \\ w_k^G \end{bmatrix} \\ \begin{bmatrix} \sin \theta \\ -\cos \theta \sin \Phi \\ -\cos \theta \cos \Phi \end{bmatrix}^T \begin{bmatrix} u_k^G \\ v_k^G \\ w_k^G \end{bmatrix} \\ \begin{bmatrix} 0 \\ 0 \\ 0 \\ 0 \\ 0 \\ 0 \\ 0 \\ 0 \\ 0 \end{bmatrix} \end{bmatrix} + \begin{bmatrix} 0 \\ 0 \\ 0 \\ 0 \\ 0 \\ 0 \\ w_{\mathcal{E}_{AP}} \\ w_{M_{AP}} \\ w_{N_{AP}} \\ w_{X_{AP}} \\ w_{Y_{AP}} \\ w_{Z_{AP}} \\ w_{\Delta p} \\ w_{\Delta q} \\ w_{\Delta r} \\ w_{\Delta \hat{p}_x} \\ w_{\Delta \hat{p}_y} \\ w_{\Delta \hat{p}_z} \end{bmatrix}$$



输出方程

$$\left\{ \begin{array}{c} \begin{bmatrix} p_k \\ q_k \\ r_k \end{bmatrix}_{meas} \\ \begin{bmatrix} n_x \\ n_y \\ n_z \end{bmatrix}_{meas} \\ \begin{bmatrix} u_k^{GPS} \\ v_k^{GPS} \\ w_k^{GPS} \end{bmatrix}_{meas} \\ h_{meas} \end{array} \right\} = \left\{ \begin{array}{c} \begin{bmatrix} p_k \\ q_k \\ r_k \end{bmatrix} + \begin{bmatrix} \Delta p \\ \Delta q \\ \Delta r \end{bmatrix} \\ \frac{1}{mg} \begin{bmatrix} X_{AP}^G \\ Y_{AP}^G \\ Z_{AP}^G \end{bmatrix} + \begin{bmatrix} \Delta n_x \\ \Delta n_y \\ \Delta n_z \end{bmatrix} \\ M_{BO} \cdot \begin{bmatrix} u_k^G \\ v_k^G \\ w_k^G \end{bmatrix} \\ h^G \end{array} \right\} + \left\{ \begin{array}{c} \begin{bmatrix} v_{p_k} \\ v_{q_k} \\ v_{r_k} \end{bmatrix} \\ \begin{bmatrix} v_{n_x} \\ v_{n_y} \\ v_{n_z} \end{bmatrix} \\ \begin{bmatrix} v_{u_k} \\ v_{v_k} \\ v_{w_k} \end{bmatrix} \\ v_h \end{array} \right\}$$

五、RTS平滑器

例子

传感器:

- GPS, 采样率: 2Hz
- IMU, 采样率: 1000Hz
- 地磁计采样率: 50Hz

先验知识

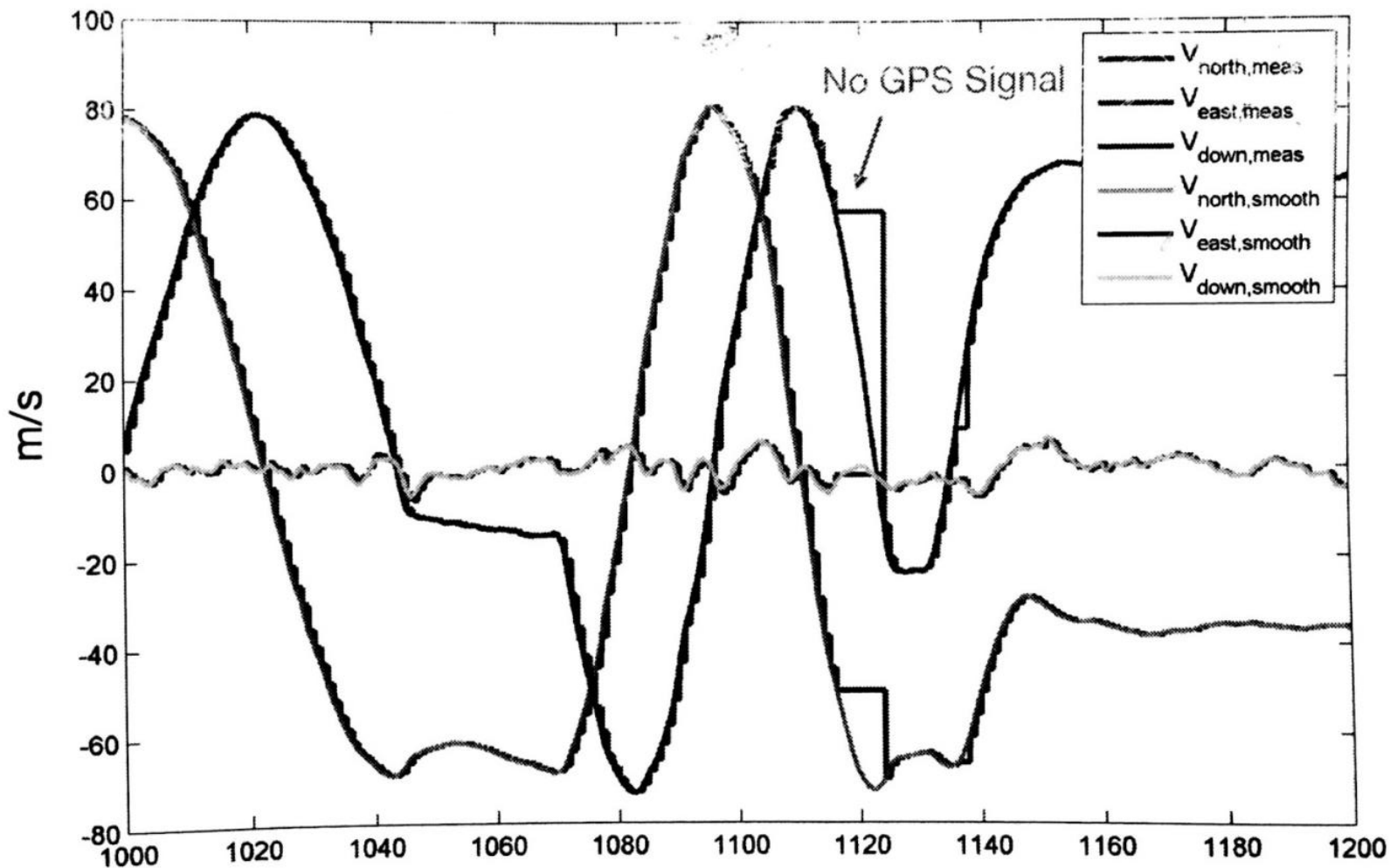
- 质量
- 转动惯量
- 参考区域S, c, b的几何形状
- 传感器位置
- 时间序列基础



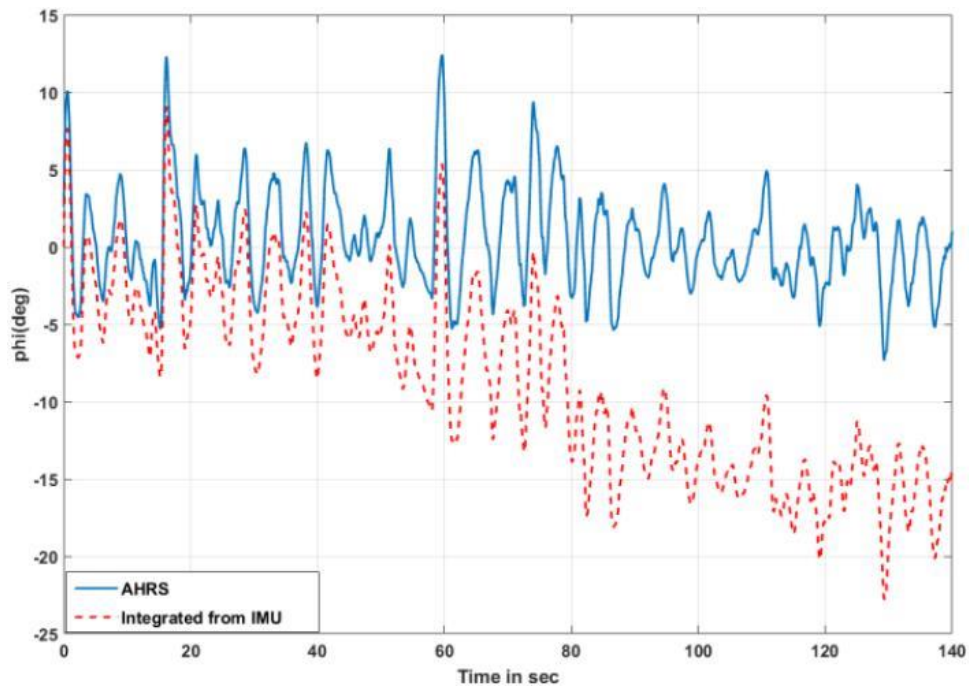
五、RTS平滑器



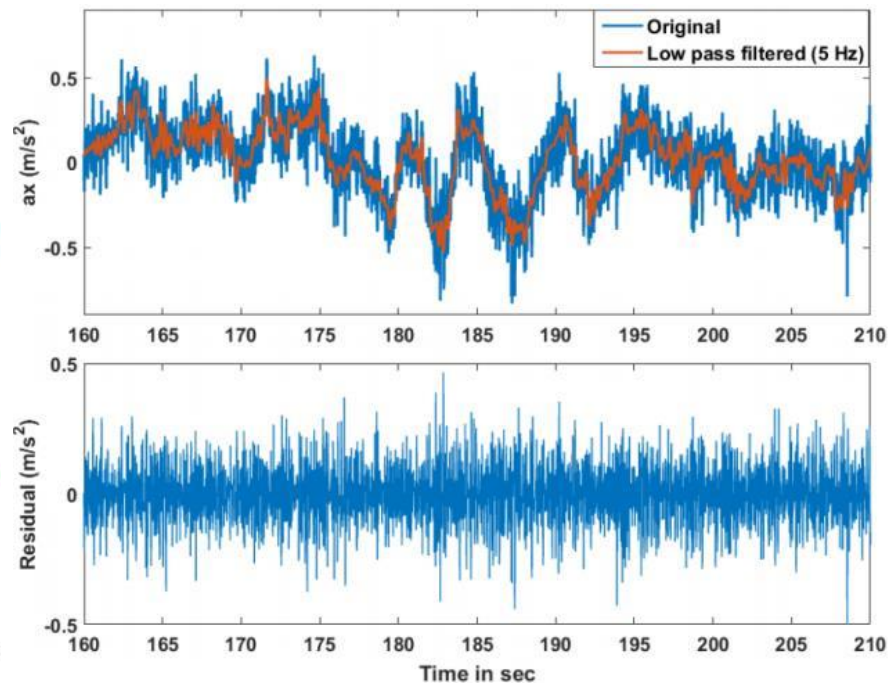
例子: RTS



例子:



系统误差



原始 a_x ，滤波后的 a_x 以及残差



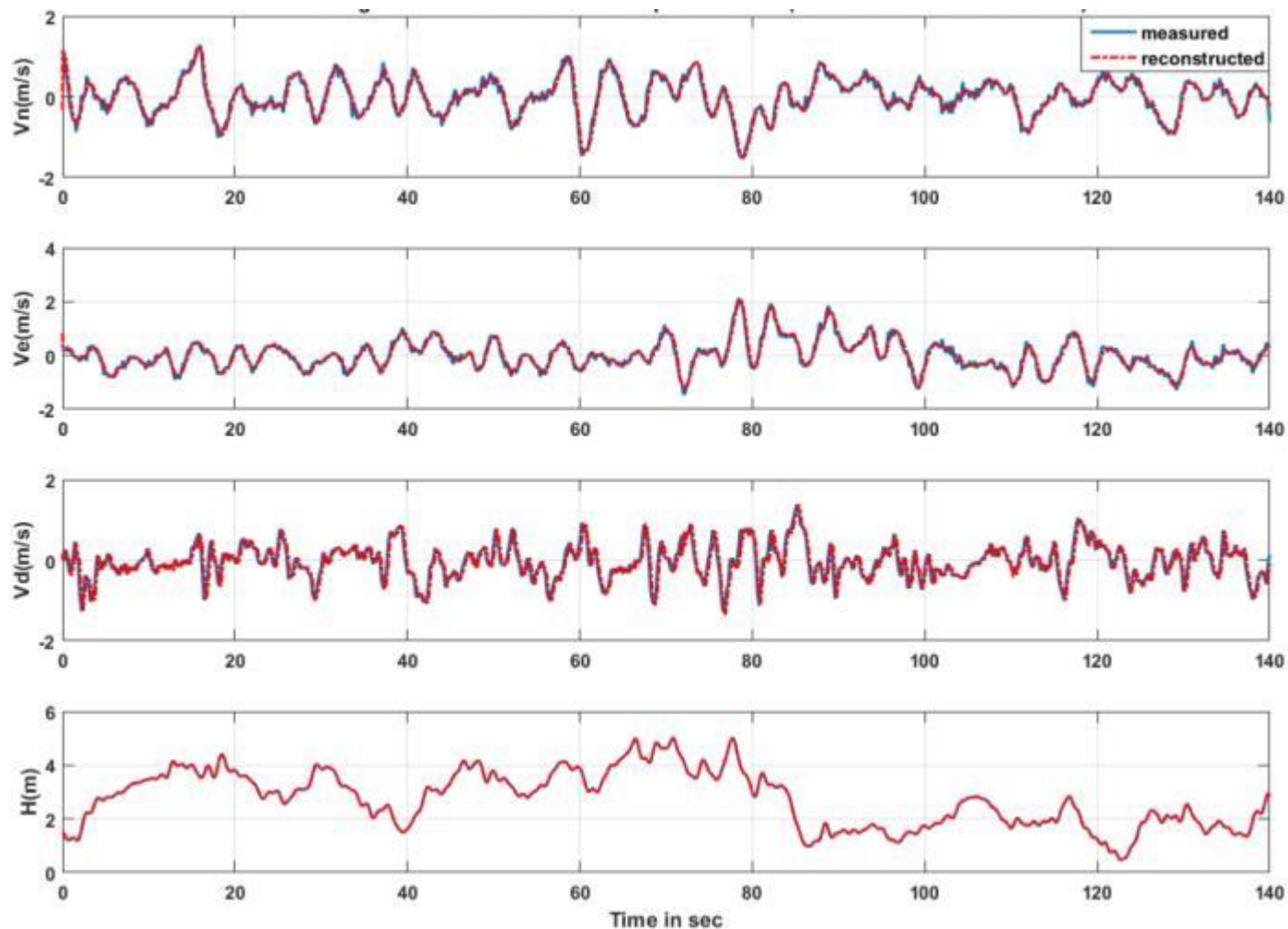
测量的噪声特性

Process noise covariance matrix \mathbf{Q}		Measurement noise covariance matrix \mathbf{R}	
Motion variables	Estimated variance	Motion variables	Estimated variance
a_x	0.0141	V_N	0.0864
a_y	0.0116	V_E	0.210
a_z	0.976	V_D	0.130
p	0.0109	h	0.0234
q	0.0256	ϕ	0.0025
r	6.54e-04	θ	0.0047
		ψ	7.31e-04

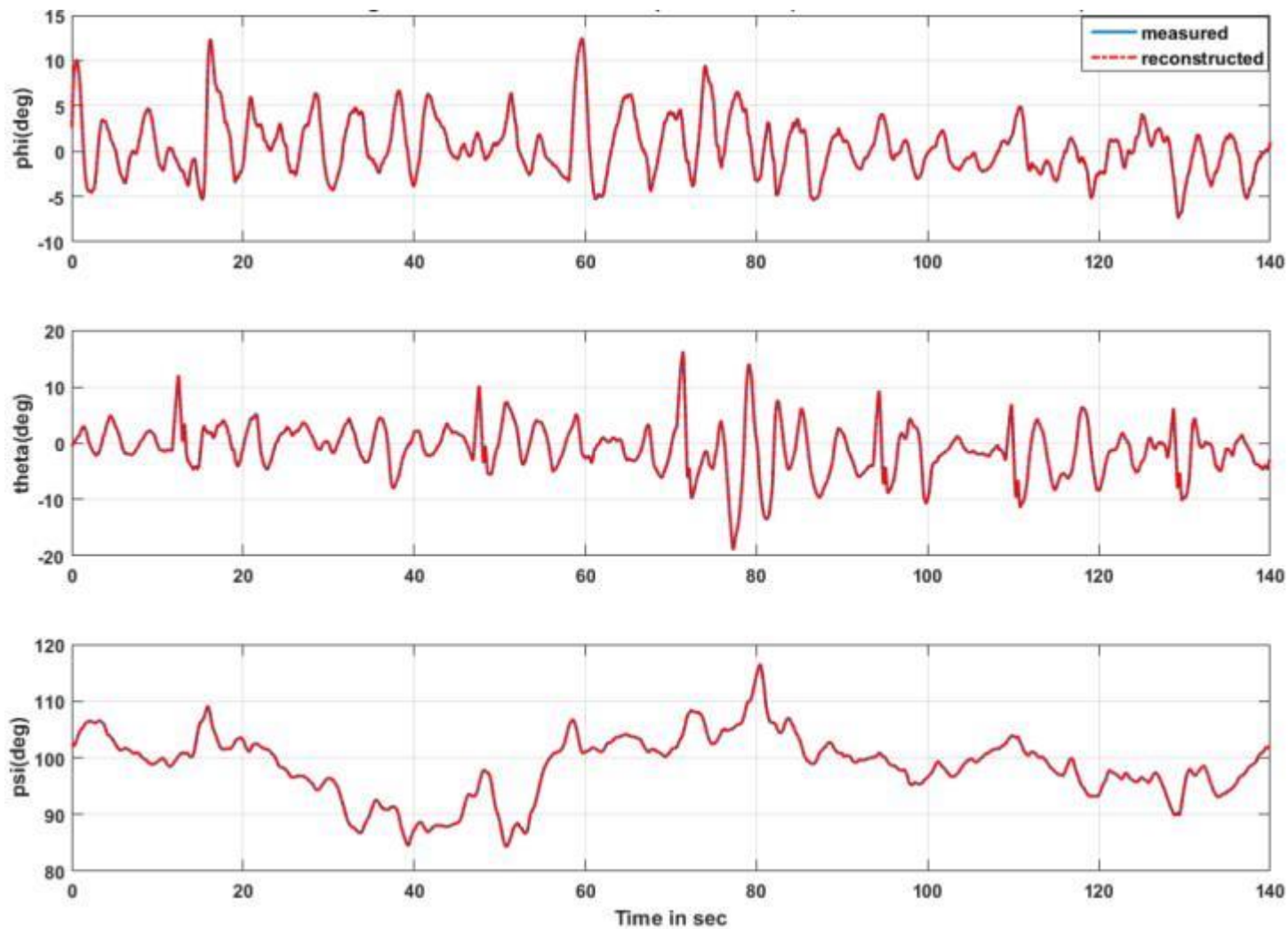


识别出的偏差

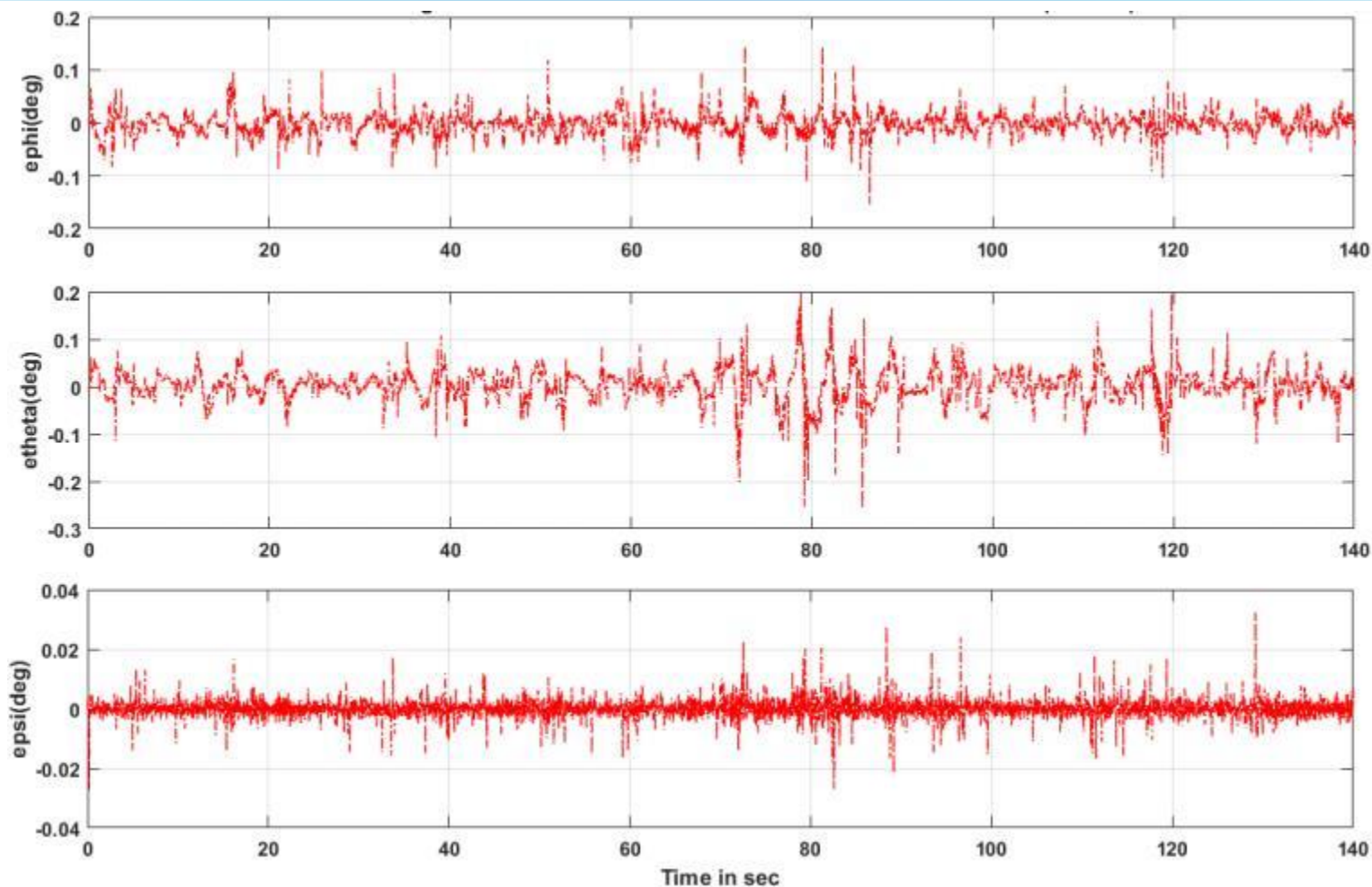
Parameter	$\hat{\theta}$	$\hat{\sigma}$	Error (%)
b_{a_x}	2.14e-01	1.42e-03	0.66
b_{a_y}	1.21e-01	1.29e-03	1.06
b_{a_z}	-2.72e-01	1.18e-02	4.34
b_p	1.72e-03	1.25e-03	72.39
b_q	-1.57e-03	1.91e-03	122.00
b_r	-2.36e-03	3.05e-04	12.96



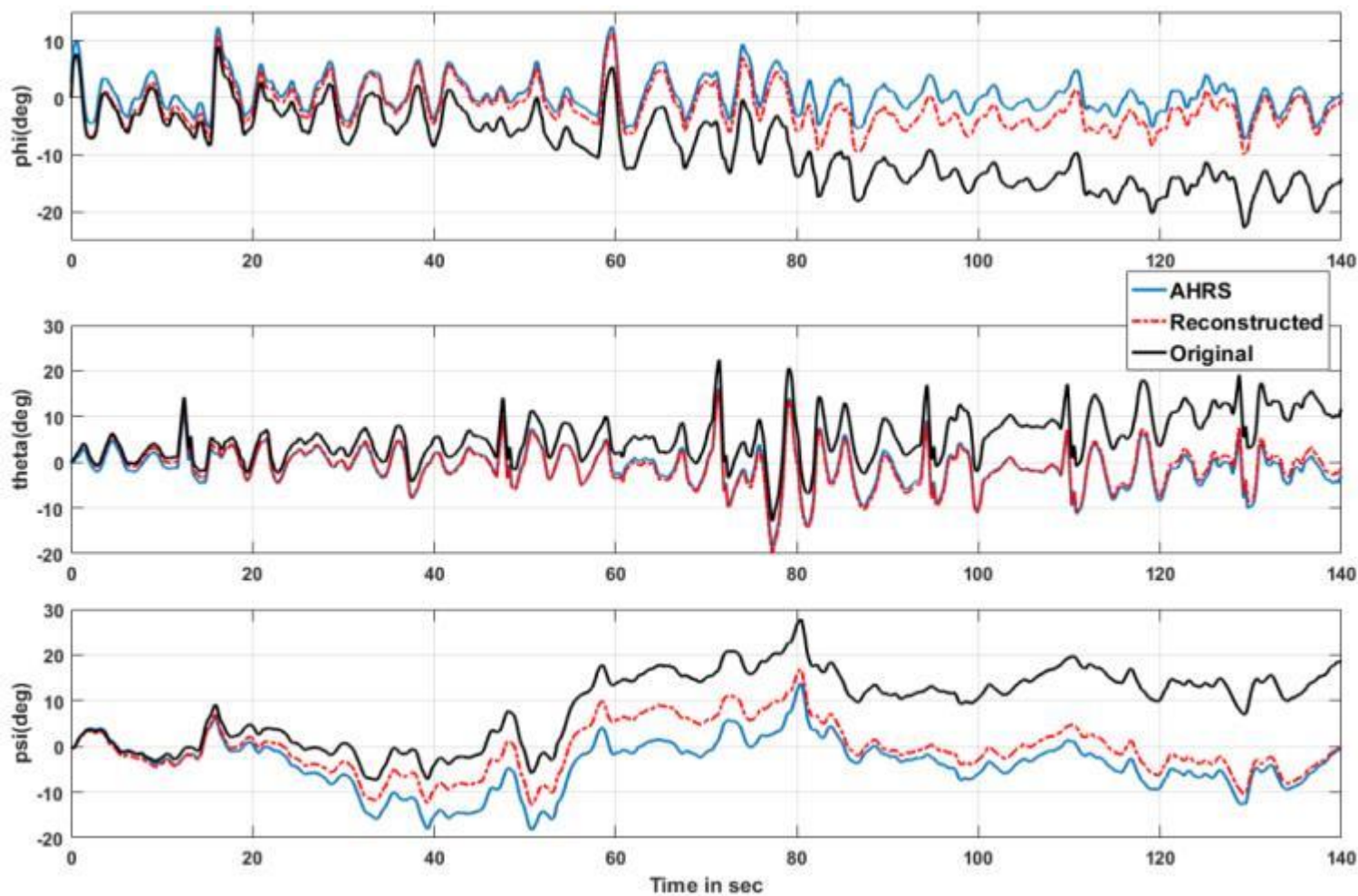
地面速度和高度（测量值和重构值）



姿态角（测量值和重构值）



测量值与估计值之间的误差



原始imu姿态角数据和重构后的姿态角数据积分后的比较

The background of the slide is a photograph of an Airbus A320 airplane flying over a sea of clouds at sunset. The sun is low on the horizon, creating a warm, golden glow. The airplane is seen from a side-on perspective, flying towards the right. The large white Chinese characters '谢谢' (Thank you) are superimposed over the center of the image.

谢谢